

УДК 62—233.3/9

Синтез приближенного внутреннего зацепления типа эвольвента — перициклоида

И.А. Казаков

Рассмотрена геометрия незвольвентного профиля зуба-перемычки, образованного нестандартным долбяком с внутренними зубьями. Приведены уравнения синтеза приближенного внутреннего зацепления типа эвольвента — перициклоида.

Ключевые слова: планетарная передача, приближенное зацепление, укороченная перициклоида, нестандартный долбяк, синтез зацепления.

Synthesis of approximate internal cogging of involute type — pericycloid

I.A. Kazakov

The geometry of a non-involute cog-crosspiece profile formed by a non-standard pinion cutter with internal tooth is considered. The equations of synthesis for the approximate internal gearing of an involute type — pericycloid are presented.

Keywords: planet gear, approximate cogging, truncated pericycloid, non-standard pinion cutter, cogging synthesis.

Планетарные передачи типа 3К (передачи, основными звеньями которых являются три центральных колеса) обладают большим передаточным отношением в одной ступени. Однако наличие сложного в изготовлении водила и большого числа подшипников сателлитов сдерживает широкое их применение в технике. Безводильные конструкции указанных передач лишены этих недостатков [1]. На рисунке 1 представлена одна из таких передач, в которой неподвижное колесо выполнено двухвенцовым, тихоходное — в виде барабана с зубьями-перемычками, сателлиты расположены в два ряда, а числа зубьев центральных колес подобраны так, что фазы их зацеплений с сателлитами в одном ряду отличаются на 0,5 шага от фазы зацеплений в другом ряду. Это позволяет обеспечить непрерывность передачи движения от быстроходного вала к тихоходному при коэффициенте перекрытия в зацеплении сателлита g с неподвижным колесом b $\varepsilon_{gb} \geq 0,5$, с тихоходным e — $\varepsilon_{ge} = 1$. При этом нагрузку несут поочередно то один, то другой ряд сателлитов.

Безводильные планетарные передачи типа 3К обладают хорошими массо-габаритными показателями, КПД передач составляет около 0,8; преимущественная область применения — тихоходные приводы (например лебедка).

В зависимости от применяемого режущего инструмента и способа формообразования профили зубьев-перемычек такой передачи могут



КАЗАКОВ

Игорь Андреевич

аспирант

кафедры «Технология
машиностроения»

(Ижевский

государственный

технический университет;

e-mail:

i.a.kazakov@gmail.com)

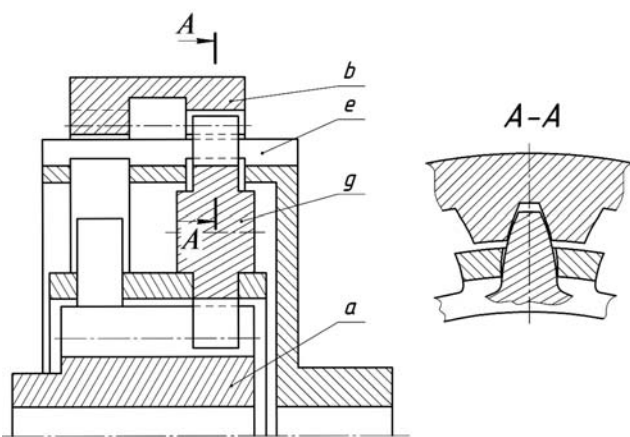


Рис. 1. Коаксиальная безводильная планетарная передача типа ЗК с двухрядным расположением сателлитов

быть очерчены по удлиненной эвольвенте (используется нестандартная червячная фреза или рейка с близким к нулю углом профиля исходного контура), эпитрохоиде (нестандартный долбяк) или прямой (набор из дисковых фрез) [2]. Однако зубья-перемычки с такими очертаниями профилей не всегда удовлетворяют требованиям кинематической точности и изгибной прочности из-за большого отклонения их от обычной эвольвенты и большой глубины врезания нестандартного инструмента в заготовку колеса.

Решить данную проблему можно, используя другой способ профилирования зубьев-перемычек — зубодолбление нестандартным долбяком с внутренними зубьями (рис. 2). В этом случае кривой, очерчивающей профиль зу-

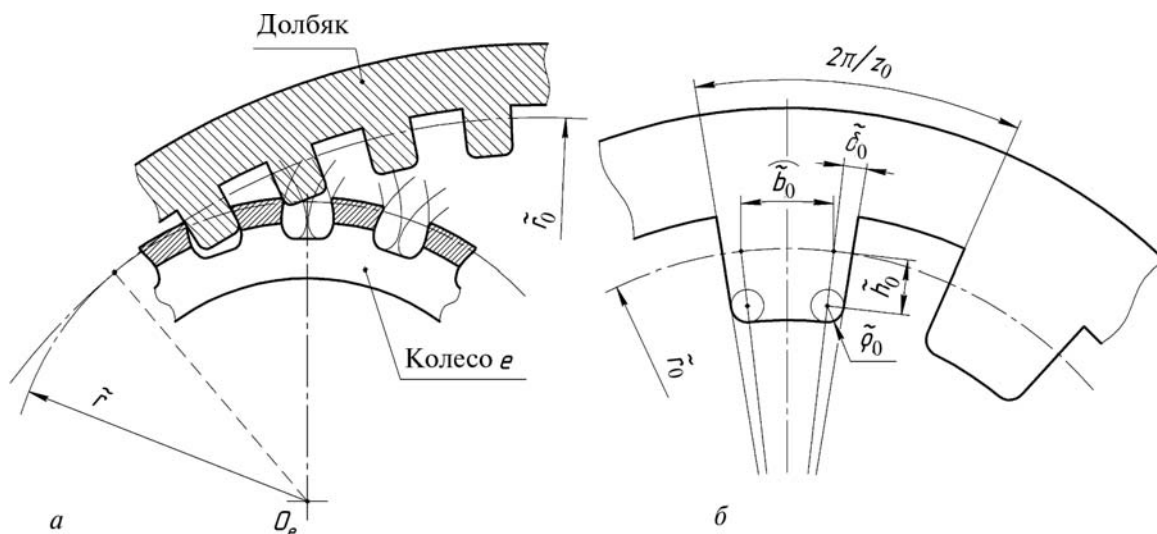


Рис. 2. Формирование зубьев-перемычек колеса (а) и профиль зубьев долбяка (б)

ба-перемычки, является укороченная перициклоида или эквидистанта к ней. Данную линию описывает точка, взятая внутри производящей окружности радиуса \tilde{r}_0 , перекатываемой без скольжения по неподвижной направляющей окружности радиуса \tilde{r} при внутреннем касании, причем $\tilde{r}_0 > \tilde{r}$.

Уравнение укороченной перициклоиды представим в параметрическом виде, приняв в качестве параметра длину перпендикуляра I_y , опущенного из центра концентрической окружности нестандартного колеса e на профильную нормаль.

Тогда текущие значения модуля радиус-вектора r_{ye} и полярного угла Θ_{ye} точки кривой профиля зубья-перемычки могут быть найдены из следующих уравнений (рис. 3):

$$r_{ye}(I_y) = \left\{ I_y^2 + \left[(\tilde{\rho}_0 + (U_0 - 1)\sqrt{\tilde{r}^2 - I_y^2} - \left(U_0 \sqrt{(\tilde{r} - \tilde{h}_0 / U_0)^2 - I_y^2} \right)^2 \right]^{1/2} \right\}; \quad (1)$$

$$\Theta_{ye}(I_y) = \arccos \frac{I_y}{r_{ye}(I_y)} - (U_0 - 1) \arccos \frac{I_y}{\tilde{r}} + U_0 \arccos \frac{I_y}{\tilde{r} - \tilde{h}_0 / U_0}, \quad (2)$$

где \tilde{r} — радиус начальной окружности нестандартного колеса в станочном зацеплении; $\tilde{\rho}_0$ — радиус кривизны линии притупления продольной кромки зуба долбяка; \tilde{h}_0 — расстояние от центра кривизны линии притупления продоль-

ной кромки зуба долбяка до его начальной окружности в станочном зацеплении; U_0 — передаточное число станочного зацепления, $U_0 = \tilde{r}_0 / \tilde{r} = z_0 / z_e > 1$; \tilde{r}_0 — радиус начальной окружности долбяка в станочном зацеплении; z_0, z_e — числа зубьев долбяка и нестандартного колеса; I_y — длина перпендикуляра, опущенного из центра концентрической окружности нестандартного колеса e на профильную нормаль в произвольной точке профиля зуба-перемычки; r_{ye} — текущее значение модуля радиус-вектора точки кривой профиля зуба-перемычки; Θ_{ye} — текущее значение полярного угла точки кривой профиля зуба-перемычки.

Как следует из выражений (1), (2), вид перициклоиды определяется параметрами $\tilde{r}, \tilde{h}_0, \tilde{\rho}_0$ и U_0 , варьирование которых позволяет приближать профиль зубьев-перемычек к эвольвентному.

При отсутствии притупления кромки зуба долбяка ($\tilde{\rho}_0 = 0$) уравнения (1), (2) определяют укороченную перициклоиду, в противном случае — наружную эквидистанту к ней. Величину $\tilde{\rho}_0$ рекомендуется принимать равной примерно $0,25m$ (m — модуль эвольвентных зубьев), так как при увеличении его возрастает глубина врезания инструмента в заготовку колеса, что ведет к снижению изгибной прочности зуба-перемычки, а при уменьшении снижается стойкость инструмента [3]. Притупление кромки зуба долбяка можно осуществить непосредственно при изготовлении самого инструмента на долбежном станке специальным фасонным резцом, который будет формировать впадину между зубьями и линию притупления.

Граничная точка l профиля зуба-перемычки является точкой пересечения укороченной перициклоиды и огибающей прямой бокового профиля зуба долбяка. Примем боковой профиль зуба долбяка в виде отрезка прямой, проведенной из центра концентрической окружности этого инструмента касательно к окружности притупления продольной кромки зуба (см. рис. 2, б).

Положение граничной точки l зависит от передаточного числа U_0 . При $U_0 > 2$ модуль радиус-вектора и полярный угол данной точки определяют из следующих уравнений (см. рис. 3, а):

$$r_{le}(\psi_l^*) = \tilde{r} \sqrt{(U_0 - 1)^2 + U_0(2 - U_0) \cos^2(\psi_l^* - \tilde{\delta}_0)}; \quad (3)$$

$$\Theta_{le}(\psi_l^*) = \psi_l^*(U_0 - 1) - \arccos \frac{\tilde{r} \cos(\psi_l^* - \tilde{\delta}_0)}{r_{le}(\psi_l^*)} + \tilde{\delta}_0, \quad (4)$$

где $\tilde{\delta}_0$ — угол между прямой бокового профиля зуба долбяка и прямой, проведенной из центра концентрической окружности этого инструмента в центр кривизны линии притупления продольной кромки зуба,

$$\tilde{\delta}_0 = \arcsin \frac{\tilde{\rho}_0}{\tilde{r} U_0 - \tilde{h}_0}.$$

Используя уравнения (1), (2) и выражая угол ψ_l^* через параметры, входящие в уравнение (3), можно, при равенстве $r_{le}(\psi_l^*) = r_{ye}(I_y)$, перейти к одному уравнению $\Theta_{le}(\psi_l^*) = \Theta_{ye}(I_y)$, из которого находим значение I_{le} , соответствующее граничной точке профиля зуба-перемычки.

При $U_0 > 2$ граничная точка l находится выше начальной окружности \tilde{r} колеса. При $U_0 = 2$ точка l лежит на самой окружности \tilde{r} :

$$r_{le} = \tilde{r}; \quad \Theta_{le} = 2\tilde{\delta}_0; \quad I_{le} = \sqrt{(\tilde{r} U_0 - \tilde{h}_0)^2 - \tilde{\rho}_0^2} / U_0. \quad (5)$$

При $U_0 < 2$ происходит срезание верхней части профиля укороченной перициклоиды той же кромкой зуба долбяка, которая при дальнейшем углублении в заготовку колеса формирует рабочий профиль, и точка l лежит ниже окружности \tilde{r} .

Синтез приближенного зацепления передачи целесообразно осуществлять из условия совпадения граничных точек однопарного зацепления с граничными точками профилей зубьев сателлита и колеса, что позволяет получить минимальную высоту (максимальную изгибную прочность) зуба-перемычки колеса и достичь того, чтобы верхний наиболее близкий по очертаниям к эвольвенте участок профиля являлся активным [3].

Рассмотрим приближенное зацепление (рис. 3, б) сателлита g с нестандартным колесом e , задавшись углом зацепления α_{we} в точке контакта, соответствующей среднему значению передаточного отношения.

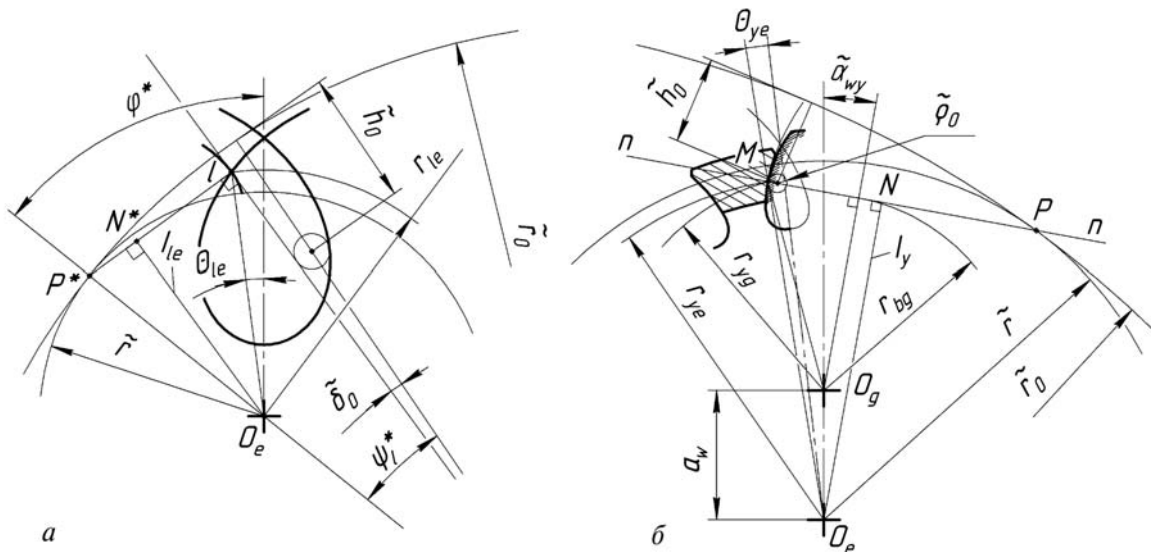


Рис. 3. Очертания профиля зуба-перемычки (а) и схема приближенного зацепления типа эвольвента-укороченная перициклоида (б)

Условие некромоного контакта эвольвентного профиля зуба сателлита с профилем зуба-перемычки имеет вид

$$\sqrt{r_{ye}^2 - I_y^2} = \sqrt{r_{yg}^2 - r_{bg}^2} + a_w \sin \tilde{\alpha}_{wy};$$

$$I_y = r_{bg} + a_w \cos \tilde{\alpha}_{wy},$$

где a_w — межосевое расстояние зубчатой пары; r_{bg} — радиус основной окружности сателлита.

Условия синтеза приближенного зацепления:

1) контакт в нижней граничной точке d зацепления, совпадающей с граничной точкой профиля зуба сателлита:

$$\left. \begin{aligned} \sqrt{r_{lg}^2 - r_{bg}^2} &= \tilde{\rho}_0 + (U_0 - 1)\sqrt{\tilde{r}^2 - I_d^2} - \\ &- U_0 \sqrt{\left(\tilde{r} - \tilde{h}_0 / U_0\right)^2 - I_d^2} - a_w \sin \tilde{\alpha}_{wd}, \\ I_d &= r_{bg} + a_w \cos \tilde{\alpha}_{wd}. \end{aligned} \right\} \quad (6)$$

Здесь r_{lg} — радиус окружности граничных точек профиля зуба сателлита,

$$r_{lg} = \frac{m z_g \cos \alpha}{2 \cos \alpha_{lg}};$$

α_{lg} — угол профиля в граничной точке, определяемый при нарезании сателлита инструментом реечного типа,

$$\alpha_{lg} = \arctg \left(\operatorname{tg} \alpha - \frac{4(h_a^* - x_g)}{z_g \sin 2\alpha} \right),$$

где h_a^* — коэффициент высоты головки зуба; x_g — коэффициент смещения исходного контура сателлита;

2) контакт в верхней граничной точке u зацепления, совпадающей с граничной точкой профиля зуба-перемычки:

$$\left. \begin{aligned} \arccos \frac{I_u}{r_{ue}(I_u)} - (U_0 - 1) \arccos \frac{I_u}{\tilde{r}} + \\ + U_0 \arccos \frac{I_u}{\tilde{r} - \tilde{h}_0 / U_0} &= \psi_i^*(U_0 - 1) - \\ - \arccos \frac{\tilde{r} \cos(\psi_i^* - \tilde{\delta}_0)}{r_{ue}(I_u)} + \arcsin \frac{\tilde{\rho}_0}{\tilde{r} U_0 - \tilde{h}_0}, \\ \psi_i^* &= \arccos \sqrt{\frac{1}{U_0(2 - U_0)} \left[\left(\frac{r_{ue}(I_u)}{\tilde{r}} \right)^2 - (U_0 - 1)^2 \right]} + \\ + \arcsin \frac{\tilde{\rho}_0}{\tilde{r} U_0 - \tilde{h}_0}, \\ r_{ue}(I_u) &= \sqrt{I_u^2 + (\tilde{\rho}_0 + (U_0 - 1)\sqrt{\tilde{r}^2 - I_u^2} - \\ - U_0 \sqrt{\left(\tilde{r} - \tilde{h}_0 / U_0\right)^2 - I_u^2})^2}, \\ I_u &= r_{bg} + a_w \cos \tilde{\alpha}_{wu}. \end{aligned} \right\} \quad (7)$$

Данные уравнения справедливы при $U_0 > 2$. Для случая $U_0 \leq 2$ система уравнений (7) имеет следующий вид:

$$\left. \begin{aligned} I_u &= \sqrt{(\tilde{r}U_0 - \tilde{h}_0)^2 - \tilde{\rho}_0^2} / U_0, \\ I_u &= r_{bg} + a_w \cos \tilde{\alpha}_{wu}; \end{aligned} \right\} \quad (8)$$

3) равенство коэффициента перекрытия единице: повороту спутника на величину углового шага его зубьев соответствует поворот колеса на величину углового шага зубьев последнего, т. е.

$$\begin{aligned} \frac{2\pi}{z_g} &= \tilde{\alpha}_{wd} - \tilde{\alpha}_{wu} + \\ &+ \frac{1}{r_{bg}} \left[(U_0 - 1) \left(\sqrt{\tilde{r}^2 - I_u^2} - \sqrt{\tilde{r}^2 - I_d^2} \right) - \right. \\ &\left. - U_0 \left(\sqrt{(\tilde{r} - \tilde{h}_0 / U_0)^2 - I_u^2} - \sqrt{(\tilde{r} - \tilde{h}_0 / U_0)^2 - I_d^2} \right) + \right. \\ &\left. + a_w (\sin \tilde{\alpha}_{wd} - \sin \tilde{\alpha}_{wu}) \right]. \end{aligned} \quad (9)$$

$$\begin{aligned} \frac{2\pi}{z_e} &= \tilde{\alpha}_{wd} - \tilde{\alpha}_{wu} + (U_0 - 1) \times \\ &\times \left(\arccos \frac{I_u}{\tilde{r}} - \arccos \frac{I_d}{\tilde{r}} \right) + \\ &+ U_0 \left(\arccos \frac{I_d}{\tilde{r} - \tilde{h}_0 / U_0} - \arccos \frac{I_u}{\tilde{r} - \tilde{h}_0 / U_0} \right). \end{aligned} \quad (10)$$

Таким образом, получены четыре уравнения (6), (7), (9), (10) с неизвестными \tilde{r} , \tilde{h}_0 , $\tilde{\alpha}_{wu}$, $\tilde{\alpha}_{wd}$. Радиус \tilde{r} можно выразить через нестандартный модуль: $\tilde{r} = 0,5\tilde{m}z_e$.

На рисунках 4, 5 представлены графики зависимостей $\tilde{h}_0 / \tilde{h}_0$ и \tilde{m} / m от числа зубьев колеса z_e и угла теоретически точного зацепления α_{we} , построенные для планетарной передачи 3К при числе зубьев солнечной шестерни $z_a = 9$. Коэффициент смещения исходного контура спутника при $z_g \leq 17$ принимался из условия отсутствия подрезания, а при $z_g > 17$ равным нулю. Число зубьев спутника $z_g = 0,5(z_e - z_a) - \Delta$, где $\Delta = 0,5$ при нечетной разности $z_e - z_a$, $\Delta = 1$ —

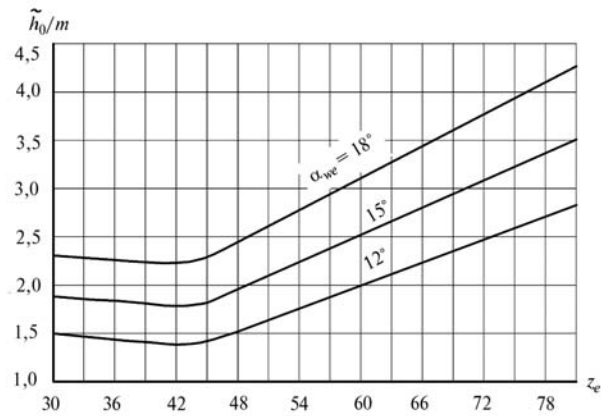


Рис. 4. Зависимость параметра \tilde{h}_0 от числа зубьев-перемычек колеса и угла теоретически точного зацепления

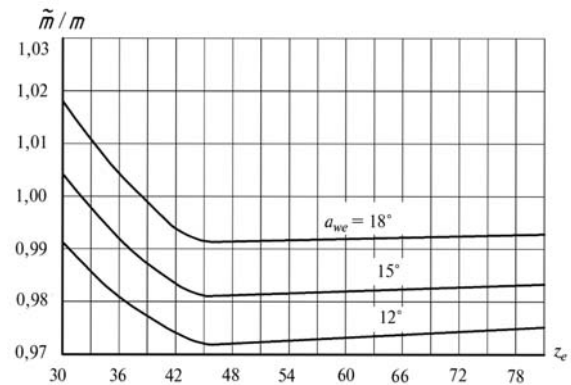


Рис. 5. Зависимость нестандартного модуля \tilde{m} от числа зубьев-перемычек колеса и угла теоретически точного зацепления

при четной [2]. Передаточное число станочно-го зацепления $U_0 = 2$. Радиус кривизны линии притупления продольной кромки зуба долбяка $\tilde{\rho}_0 = 0,25m$.

Приведенные графики позволяют определить рациональные значения параметров приближенного внутреннего зацепления и нестандартного долбяка.

Литература

1. Плеханов Ф.И. Исследование влияния параметров приближенного зацепления на распределение нагрузки по длине зубьев колес // Известия высших учебных заведений. Машиностроение. 2011. № 1. С. 11–13.
2. Плеханов Ф.И. Зубчатые планетарные передачи. Типы, основы кинематики, геометрии и расчета на прочность. Ижевск: Удмуртия, 2003. 200 с.
3. Плеханов Ф.И. Теоретические основы проектирования и принципы конструирования нетрадиционных планетарных передач типа 3К: Автореф. дис. ... д-ра. техн. наук / ИжГТУ. Ижевск, 1996. 34 с.

Статья поступила в редакцию 02.04.2012